

Solutions numériques du système d'Euler-Poisson dans le cas d'un flot potentiel

Ingrid Violet

Laboratoire de Mathématiques

Université Blaise Pascal

Clermont-Ferrand, France

Plan

- 1 Présentation du système étudié
- 2 Résultats existants
- 3 Schémas numériques
- 4 Résultats numériques

Présentation du système étudié

Euler-Poisson uni-polaire

$$\begin{aligned}n_t + \operatorname{div}(nu) &= 0 \\ \varepsilon \partial_t(nu) + \varepsilon \operatorname{div}(nu \otimes u) + \nabla p(n) &= n \nabla \phi - \frac{\varepsilon nu}{\tau} \\ -\lambda^2 \Delta \phi &= C(x) - n\end{aligned}$$

Inconnues

- $n(t, x)$: densité d'électrons
- $u(t, x)$: vitesse des électrons
- $\phi(t, x)$: potentiel électrostatique

Paramètres physiques (positifs)

- ε : masse d'électrons
- τ : temps de relaxation
- λ : longueur de Debye

Données

- p : fonction pression, $p(s) = cs^\gamma$, ($\gamma = 1$ ou $5/3$, $c = 1$)
- $C(x)$: profil de dopage

Euler-Poisson uni-polaire

$$\begin{aligned}n_t + \operatorname{div}(nu) &= 0 \\ \varepsilon \partial_t(nu) + \varepsilon \operatorname{div}(nu \otimes u) + \nabla p(n) &= n \nabla \phi - \frac{\varepsilon nu}{\tau} \\ -\lambda^2 \Delta \phi &= C(x) - n\end{aligned}$$

Inconnues

- $n(t, x)$: densité d'électrons
- $u(t, x)$: vitesse des électrons
- $\phi(t, x)$: potentiel électrostatique

Paramètres physiques (positifs)

- ε : masse d'électrons
- τ : temps de relaxation
- λ : longueur de Debye

Données

- p : fonction pression, $p(s) = cs^\gamma$, ($\gamma = 1$ ou $5/3$, $c = 1$)
- $C(x)$: profil de dopage

Ecriture équivalente

$$\begin{aligned}n_t + \operatorname{div}(nu) &= 0 \\ \varepsilon \partial_t(nu) + \varepsilon \operatorname{div}(nu \otimes u) + \nabla p(n) &= n \nabla \phi - \frac{\varepsilon nu}{\tau} \\ -\lambda^2 \Delta \phi &= C(x) - n\end{aligned}$$

Ecriture équivalente

$$\begin{aligned}n_t + \operatorname{div}(nu) &= 0 \\ \varepsilon u_t + \varepsilon(u \cdot \nabla)u + \nabla h(n) &= \nabla \phi - \frac{\varepsilon u}{\tau} \\ -\lambda^2 \Delta \phi &= C(x) - n\end{aligned}$$

avec : h : enthalpie du système, $h'(s) = p'(s)/s$ et $h(1) = 0$.

Problème considéré

Hypothèses :

- problème stationnaire
- flot irrotationnel :
 - $\operatorname{rot} u = 0 \implies (u \cdot \nabla)u = \frac{1}{2} \nabla(|u|^2)$,
 - il existe un potentiel vitesse ψ tel que : $u = -\nabla\psi$.

$$\begin{aligned}
 -\operatorname{div}(n \nabla \psi) &= 0, \\
 \frac{\varepsilon}{2} |\nabla \psi|^2 + h(n) &= \phi + \varepsilon \psi, \\
 -\Delta \phi &= C(x) - n, \quad \text{dans } \Omega
 \end{aligned}$$

+ conditions aux bords de type Dirichlet-Neumann

Inconnues

- $n(x)$: densité d'électrons
- $\psi(x)$: potentiel vitesse
- $\phi(x)$: potentiel électrostatique

Paramètres physiques

- $\varepsilon \in (0, 1]$
- $\lambda = \tau = 1$

Problème considéré

Hypothèses :

- problème stationnaire
- flot irrotationnel :
 - $\operatorname{rot} u = 0 \implies (u \cdot \nabla)u = \frac{1}{2} \nabla(|u|^2)$,
 - il existe un potentiel vitesse ψ tel que : $u = -\nabla\psi$.

$$\begin{aligned} -\operatorname{div}(n \nabla \psi) &= 0, \\ \frac{\varepsilon}{2} |\nabla \psi|^2 + h(n) &= \phi + \varepsilon \psi, \\ -\Delta \phi &= C(x) - n, \end{aligned} \quad \text{dans } \Omega$$

+ conditions aux bords de type Dirichlet-Neumann

Inconnues

- $n(x)$: densité d'électrons
- $\psi(x)$: potentiel vitesse
- $\phi(x)$: potentiel électrostatique

Paramètres physiques

- $\varepsilon \in (0, 1]$
- $\lambda = \tau = 1$

Problème considéré

Hypothèses :

- problème stationnaire
- flot irrotationnel :
 - $\operatorname{rot} u = 0 \implies (u \cdot \nabla)u = \frac{1}{2} \nabla(|u|^2)$,
 - il existe un potentiel vitesse ψ tel que : $u = -\nabla\psi$.

$$\begin{aligned} -\operatorname{div}(n\nabla\psi) &= 0, \\ \frac{\varepsilon}{2} |\nabla\psi|^2 + h(n) &= \phi + \varepsilon\psi, \\ -\Delta\phi &= C(x) - n, \end{aligned} \quad \text{dans } \Omega$$

+ conditions aux bords de type Dirichlet-Neumann

Inconnues

- $n(x)$: densité d'électrons
- $\psi(x)$: potentiel vitesse
- $\phi(x)$: potentiel électrostatique

Paramètres physiques

- $\varepsilon \in (0, 1]$
- $\lambda = \tau = 1$

Résultats existants

Résultats existants

- **Degond/Markowich (93)** : existence et unicité de solutions sous une condition de **petitesse des données** ($\varepsilon = 1$ et CL de type Dirichlet).
- **Peng (03)** : existence et unicité de solutions sous une condition de **petitesse de ε** (CL de type Dirichlet).

Méthode :

- élimination de $\phi \implies$ système elliptique pour ε assez petit,
- utilisation du théorème de point fixe de Schauder.

But :

- retrouver numériquement la condition de petitesse sur ε

Résultats existants

- **Degond/Markowich (93)** : existence et unicité de solutions sous une condition de **petitesse des données** ($\varepsilon = 1$ et CL de type Dirichlet).
- **Peng (03)** : existence et unicité de solutions sous une condition de **petitesse de ε** (CL de type Dirichlet).

Méthode :

- élimination de $\phi \implies$ système elliptique pour ε **assez petit**,
- utilisation du théorème de point fixe de Schauder.

But :

- retrouver numériquement la condition de petitesse sur ε

Résultats existants

- **Degond/Markowich (93)** : existence et unicité de solutions sous une condition de **petitesse des données** ($\varepsilon = 1$ et CL de type Dirichlet).
- **Peng (03)** : existence et unicité de solutions sous une condition de **petitesse de ε** (CL de type Dirichlet).

Méthode :

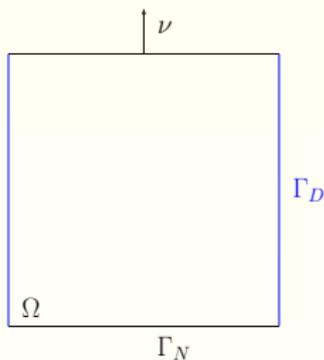
- élimination de $\phi \implies$ système elliptique pour ε **assez petit**,
- utilisation du théorème de point fixe de Schauder.

But :

- retrouver numériquement la condition de petitesse sur ε

Schémas numériques

Notations et rappel du système



- $\Omega =]0, 1[\times]0, 1[$,
- $\partial\Omega = \Gamma = \Gamma_D \cup \Gamma_N$,

$$\begin{aligned}
 & -\operatorname{div}(n\nabla\psi) = 0, \\
 & \frac{\varepsilon}{2}|\nabla\psi|^2 + h(n) = \phi + \varepsilon\psi, \\
 & -\Delta\phi = C(x) - n, & \text{dans } \Omega \\
 & \phi = \phi_D, \quad \psi = \psi_D, & \text{sur } \Gamma_D \\
 & \nabla\phi \cdot \nu = \nabla\psi \cdot \nu = 0, & \text{sur } \Gamma_N
 \end{aligned}$$

Schéma itératif

- On se donne n^0 . Pour $m \geq 0$ on résout :

$$\begin{aligned}
 -\operatorname{div}(n^m \nabla \psi^m) &= 0, \\
 -\Delta \phi^m &= C - n^m, && \text{dans } \Omega \\
 \phi^m = \phi_D, \psi^m = \psi_D &= h(n^0) - \phi_D, && \text{sur } \Gamma_D \\
 \nabla \phi^m \cdot \nu = \nabla \psi^m \cdot \nu &= 0, && \text{sur } \Gamma_N
 \end{aligned}$$

\Rightarrow Schéma volumes finis \Rightarrow solutions constantes par mailles

- Calcul de n^{m+1} par :

$$n^{m+1} = h^{-1} \left(\phi^m - \varepsilon \psi^m + \frac{\varepsilon}{2} |\nabla \psi^m|^2 \right)$$

\Rightarrow Reconstruction du gradient de ψ^m ?

Schéma itératif

- On se donne n^0 . Pour $m \geq 0$ on résout :

$$\begin{aligned} -\operatorname{div}(n^m \nabla \psi^m) &= 0, \\ -\Delta \phi^m &= C - n^m, && \text{dans } \Omega \\ \phi^m = \phi_D, \psi^m = \psi_D &= h(n^0) - \phi_D, && \text{sur } \Gamma_D \\ \nabla \phi^m \cdot \nu &= \nabla \psi^m \cdot \nu = 0, && \text{sur } \Gamma_N \end{aligned}$$

\Rightarrow Schéma volumes finis \Rightarrow solutions constantes par mailles

- Calcul de n^{m+1} par :

$$n^{m+1} = h^{-1} \left(\phi^m - \varepsilon \psi^m + \frac{\varepsilon}{2} |\nabla \psi^m|^2 \right)$$

\Rightarrow Reconstruction du gradient de ψ^m ?

Schéma itératif

- On se donne n^0 . Pour $m \geq 0$ on résout :

$$\begin{aligned} -\operatorname{div}(n^m \nabla \psi^m) &= 0, \\ -\Delta \phi^m &= C - n^m, && \text{dans } \Omega \\ \phi^m = \phi_D, \psi^m = \psi_D &= h(n^0) - \phi_D, && \text{sur } \Gamma_D \\ \nabla \phi^m \cdot \nu = \nabla \psi^m \cdot \nu &= 0, && \text{sur } \Gamma_N \end{aligned}$$

\Rightarrow Schéma volumes finis \Rightarrow solutions constantes par mailles

- Calcul de n^{m+1} par :

$$n^{m+1} = h^{-1} \left(\phi^m - \varepsilon \psi^m + \frac{\varepsilon}{2} |\nabla \psi^m|^2 \right)$$

\Rightarrow Reconstruction du gradient de ψ^m ?

Schéma itératif

- On se donne n^0 . Pour $m \geq 0$ on résout :

$$\begin{aligned} -\operatorname{div}(n^m \nabla \psi^m) &= 0, \\ -\Delta \phi^m &= C - n^m, && \text{dans } \Omega \\ \phi^m = \phi_D, \psi^m = \psi_D &= h(n^0) - \phi_D, && \text{sur } \Gamma_D \\ \nabla \phi^m \cdot \nu = \nabla \psi^m \cdot \nu &= 0, && \text{sur } \Gamma_N \end{aligned}$$

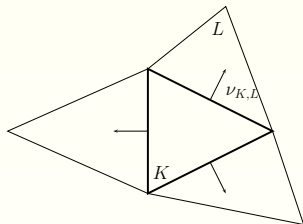
\implies Schéma volumes finis \implies solutions constantes par mailles

- Calcul de n^{m+1} par :

$$n^{m+1} = h^{-1} \left(\phi^m - \varepsilon \psi^m + \frac{\varepsilon}{2} |\nabla \psi^m|^2 \right)$$

\implies Reconstruction du gradient de ψ^m ?

Intégration sur les volumes de contrôle



Equations intégrées sur K

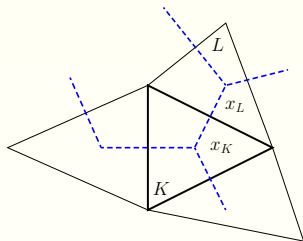
$$-\operatorname{div}(n^m \nabla \psi^m) = 0$$

$$-\Delta \phi^m = C - n^m$$

$$\int_K \Delta \phi^m = \int_K n^m - C \Rightarrow \sum_{\sigma=K|L \in \mathcal{E}(K)} \int_{\sigma} \nabla \phi^m \cdot \nu_{K,L} = \int_K n^m - C$$

$$\int_K \operatorname{div}(n^m \nabla \psi^m) = 0 \Rightarrow \sum_{\sigma=K|L \in \mathcal{E}(K)} \int_{\sigma} n^m \nabla \psi^m \cdot \nu_{K,L} = 0$$

Intégration sur les volumes de contrôle



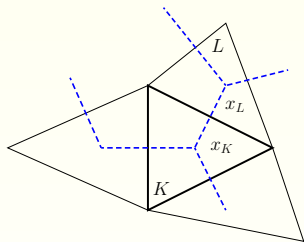
maillage admissible

Equations intégrées sur K

$$\begin{aligned}
 -\operatorname{div}(n^m \nabla \psi^m) &= 0, \\
 -\Delta \phi^m &= C - n^m,
 \end{aligned}$$

$$\int_K \Delta \phi^m = \int_K n^m - C \Rightarrow \sum_{\sigma=K|L \in \mathcal{E}(K)} \int_{\sigma} \nabla \phi^m \cdot \nu_{K,L} = \int_K n^m - C$$

$$\int_K \operatorname{div}(n^m \nabla \psi^m) = 0 \Rightarrow \sum_{\sigma=K|L \in \mathcal{E}(K)} \int_{\sigma} n^m \nabla \psi^m \cdot \nu_{K,L} = 0$$



Approximation des flux

$$\int_{\sigma} \nabla \phi^m \cdot \nu_{K,L} \approx m(\sigma) \frac{\phi_L^m - \phi_K^m}{d(x_K, x_L)}$$

$$\int_{\sigma} n^m \nabla \psi^m \cdot \nu_{K,L} \approx m(\sigma) \frac{n_K^m + n_L^m}{2} \frac{\psi_L^m - \psi_K^m}{d(x_K, x_L)}$$

Schéma numérique

$$\sum_{\sigma \in \mathcal{E}(K)} m(\sigma) \frac{\phi_L^m - \phi_K^m}{d(x_K, x_L)} = m(K)(n_K^m - C_K)$$

$$\sum_{\sigma \in \mathcal{E}(K)} m(\sigma) \frac{n_K^m + n_L^m}{2} \frac{\psi_L^m - \psi_K^m}{d(x_K, x_L)} = 0$$

- **Reconstruction d'un vecteur à partir de ses flux** : [Droniou/Eymard (05)]

$$m(K)e = \sum_{\sigma=K|L \in \mathcal{E}(K)} m(\sigma)e \cdot \nu_{K,L}(x_\sigma - x_K)$$

$$\Rightarrow \nabla \psi_K^m = \frac{1}{m(K)} \sum_{\sigma=K|L \in \mathcal{E}(K)} \frac{m(\sigma)}{d(x_K, x_L)} (\psi_L^m - \psi_K^m)(x_\sigma - x_K)$$

- calcul de n^{m+1} :

$$n_K^{m+1} = h^{-1} (\phi_K^m + \varepsilon \psi_K^m - \frac{\varepsilon}{2} |\nabla \psi_K^m|^2)$$

Autre méthode : volumes finis mixtes, Droniou/Eymard (05)

- pas de condition d'admissibilité du maillage
- reconstruction du gradient intrinsèque au schéma

- **Reconstruction d'un vecteur à partir de ses flux** : [Droniou/Eymard (05)]

$$m(K)e = \sum_{\sigma=K|L \in \mathcal{E}(K)} m(\sigma)e \cdot \nu_{K,L}(x_\sigma - x_K)$$

$$\Rightarrow \nabla \psi_K^m = \frac{1}{m(K)} \sum_{\sigma=K|L \in \mathcal{E}(K)} \frac{m(\sigma)}{d(x_K, x_L)} (\psi_L^m - \psi_K^m)(x_\sigma - x_K)$$

- calcul de n^{m+1} :

$$n_K^{m+1} = h^{-1} (\phi_K^m + \varepsilon \psi_K^m - \frac{\varepsilon}{2} |\nabla \psi_K^m|^2)$$

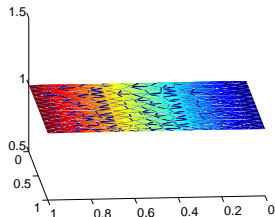
Autre méthode : volumes finis mixtes, Droniou/Eymard (05)

- pas de condition d'admissibilité du maillage
- reconstruction du gradient intrinsèque au schéma

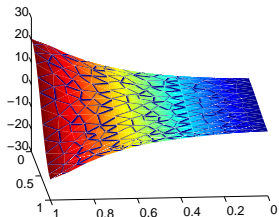
Résultats numériques

Cas test

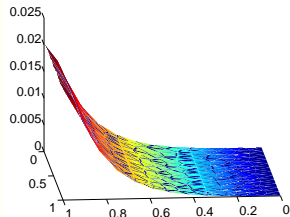
Densité d'électron



Potentiel vitesse

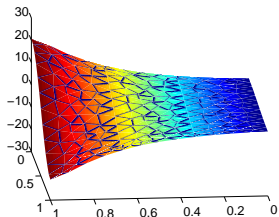


Potentiel électrostatique

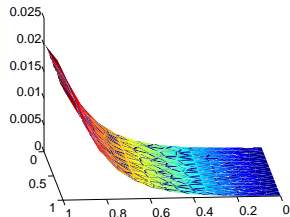


$n \equiv 1$

Solution approchée

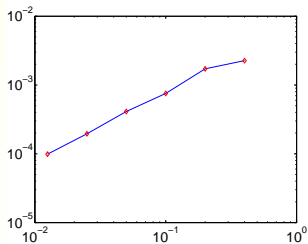


Solution exacte

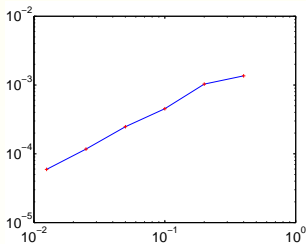


Cas test (suite)

Erreur sur la densité d'électron en fonction du pas du maillage



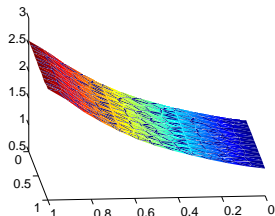
Cas $\gamma = 1$



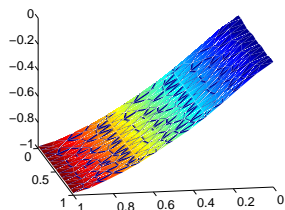
Cas $\gamma = 5/3$

Condition de petitesse sur ε pour le schéma VF4

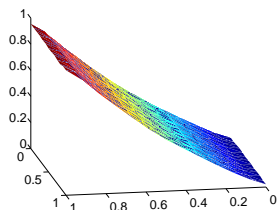
Densité d'électron



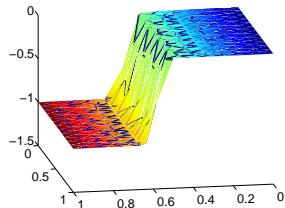
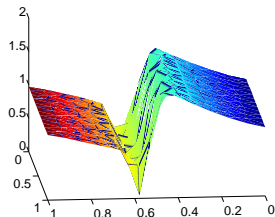
Potentiel vitesse



Potentiel électrostatique



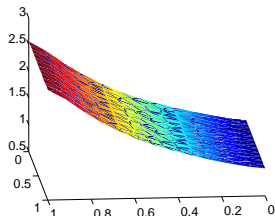
Cas $\gamma = 1, \varepsilon = 10^{-2}$



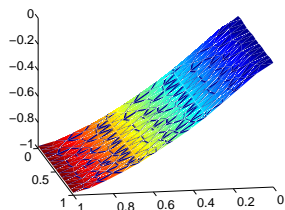
Cas $\gamma = \varepsilon = 1$

Condition de petitesse sur ε pour le schéma Droniou/Eymard

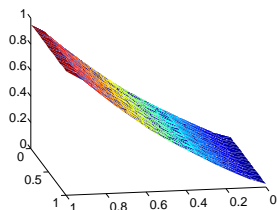
Densité d'électron



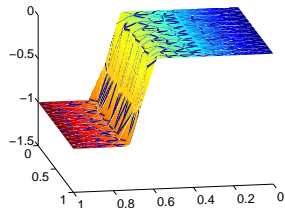
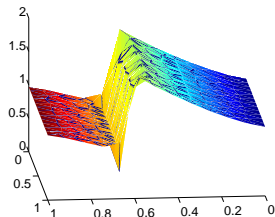
Potentiel vitesse



Potentiel électrostatique



Cas $\gamma = 1, \varepsilon = 10^{-2}$



Cas $\gamma = \varepsilon = 1$